

Podstawy Grafiki Komputerowej

Wykład 8: Ray Tracing + Global Illumination

Andrzej Łukaszewski

Pracownia Grafiki Komputerowej
(LIGHT — Laboratory of Imaging and GraphiC Techniques)
Instytut Informatyki, Uniwersytet Wrocławski

2 grudnia 2019

Ray Tracing: śledzenie promieni

- Nierekurencyjna metoda dla widoczności (ray casting)

Appel, 1968

- Rekurencyjny ray-tracing

Whitted, 1980



- Metody Monte Carlo — symulujące fizycznie oświetlenie

Ray Tracing: rekurenc. śledzenie promieni

```
1 dla każdego piksela // primary ray
2   oblicz promień R od obserwatora przez ekran
3   kolor piksela = RayTrace(R)
4
5 Funkcja RayTrace(promien R) zwraca kolor
6   Znajdź przecięcie z najbliższym obiektem
7   // (czyli: t, punkt, id/material, wekt.normalny)
8   kolor = czarny (lub kolor tła)
9   jeśli jest przecięcie
10    dla każdego źródła światła // shadow ray
11      wygeneruj promień od punktu do światła
12      czy promień przecina się z którymś obiektem
13      jeśli nie ma przecięcia // in light
14        uaktualnij kolor o oświetlenia dla światła
15      wygeneruj promień odbity-zwierciadlany Refl
16      kolor_odbicia = RayTrace(Refl) // rekurencja
17      uaktualnij kolor o kolor odbicia
```

Ray Tracing: śledzenie promieni

Algorytm bardzo prosty i łatwy do rozbudowy o kolejne efekty:

- refrakcja
- symulacja obiektywu — głębia ostrości
- rozmycie ruchu
- światła powierzchniowe ? inne odbicia ?

Koszt działania był uważany za duży ale wraz z rozwojem algorytmów i szybkości komputerów i rosnącymi scenami jest coraz atrakcyjniejszy ze względu na:

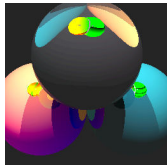
- efektywne metody znajdowania przecięć
- struktury przyspieszające dające koszt logarytmiczny względem ilości obiektów.

Ray Tracing: śledzenie promieni

Minimal Ray Tracing Competition:

jeden ze zwycięzców: 80x25 znaków (na wizytówkę)

```
typedef struct{double x,y,z}vec;vec U,black,amb={.02,.02,.02};struct sphere{
vec cen,color;double rad,kd,ks,kt,kl,ir}*s,*best,sph[]={0.,.6.,.5,1.,1.,1.,.9,
.05,.2,.85,0.,1.7,-1.,8.,-.5,1.,.5,.2,1.,.7,.3,0.,.05,1.2,1.,8.,-.5,-1.,8.,.8,
1.,.3,.7,0.,0.,1.2,3.,-6.,15.,1.,.8,1.,7.,0.,0.,0.,.6,1.5,-3.,-3.,12.,.8,1.,
1.,.5.,0.,0.,0.,.5,1.5.};yx;double u,b,tmin,sqrt(),tan();double vdot(A,B)vec A
,B;{return A.x*B.x+A.y*B.y+A.z*B.z;}vec vcomb(a,A,B)double a;vec A,B;{B.x+=a*
A.x;B.y+=a*A.y;B.z+=a*A.z;return B;}vec vunit(A)vec A;{return vcomb(1./sqrt(
vdot(A,A)),A,black);}struct sphere*intersect(P,D)vec P,D;{best=0;tmin=1e30;s=
sph+5;while(s-->sph)b=vdot(D,U=vcomb(-1.,P,s->cen)),u=b*b-vdot(U,U)+s->rad*s
->rad,u=u>0?sqrt(u):1e31,u=b-u>1e-7?b-u:b+u,tmin=u>=1e-7&&u<tmin?best=s,u:
tmin;return best;}vec trace(level,P,D)vec P,D;{double d,eta,e;vec N,color;
struct sphere*s,*l;if(!level-->return black;if(s=intersect(P,D));else return
amb;color=amb;eta=s->ir;d= -vdot(D,N=vunit(vcomb(-1.,P=vcomb(tmin,D,P),s->cen
)));if(d<0)N=vcomb(-1.,N,black),eta=1/eta,d= -d;l=sph+5;while(l-->sph)if((e=l
->kl*vdot(N,U=vunit(vcomb(-1.,P,l->cen))))>0&&intersect(P,U)==l)color=vcomb(e
,l->color,color);U=s->color;color.x*=U.x;color.y*=U.y;color.z*=U.z;e=1-eta*
eta*(1-d*d);return vcomb(s->kt,e>0?trace(level,P,vcomb(eta,D,vcomb(eta*d-sqrt
(e),N,black)):black,vcomb(s->ks,trace(level,P,vcomb(2*d,N,D)),vcomb(s->kd,
color,vcomb(s->kl,U,black)))));}main(){printf("P3\n%d %d\n255\n",32,32);while(yx<32*32)
U.x=yx%32-32/2,U.z=32/2-yx++/32,U.y=32/2/tan(25/114.5915590261),U=vcomb(255.,
trace(3,black,vunit(U)),black),printf("%.0f %.0f %.0f\n",U);}/*minray!*/
```



Ray Tracing: przecięcia z obiektami

Znajdowanie przecięcia promienia:

$$R(t) = O + t \cdot D$$

z obiektami:

- sfery i inne powierzchnie uwikłane $F(x, y, z) = 0$
- trójkąty
- prostopadłościany
- powierzchnie parametryczne
- inne reprezentacje

Ray Tracing: przecięcie z trójkątem

Algorytm Möller'a (1997): bez współ. równania płaszczyzny

$$O + tD = (1 - u - v)V_0 + uV_1 + vV_2$$

$$[-D, V_1 - V_0, V_2 - V_0] \begin{bmatrix} t \\ u \\ v \end{bmatrix} = O - V_0$$

Rozwiązanie z wzorów Crammer'a:

$$\begin{bmatrix} t \\ u \\ v \end{bmatrix} = \frac{1}{|-D, E_1, E_2|} \begin{bmatrix} |T, E_1, E_2| \\ |-D, T, E_2| \\ |-D, E_1, T| \end{bmatrix}$$

Korzystając z: $|A, B, C| = -(A \times B) \cdot C = -(C \times B) \cdot A$. mamy:

$$\begin{bmatrix} t \\ u \\ v \end{bmatrix} = \frac{1}{(D \times E_2) \cdot E_1} \begin{bmatrix} (T \times E_1) \cdot E_2 \\ (D \times E_2) \cdot T \\ (T \times E_1) \cdot D \end{bmatrix} = \frac{1}{P \cdot E_1} \begin{bmatrix} Q \cdot E_2 \\ P \cdot T \\ Q \cdot D \end{bmatrix}$$

Koszt: 1 dzielenie, 27 mnożeń, 17 dodawań/odejmowań

Ray Tracing: przecięcie z trójkątem

Oryginalny kod ze strony Tomasa Akenine-Möller'a

```
#define EPSILON 0.000001
#define CROSS(dest,v1,v2) \
    dest[0]=v1[1]*v2[2]-v1[2]*v2[1]; \
    dest[1]=v1[2]*v2[0]-v1[0]*v2[2]; \
    dest[2]=v1[0]*v2[1]-v1[1]*v2[0];
#define DOT(v1,v2) (v1[0]*v2[0]+v1[1]*v2[1]+v1[2]*v2[2])
#define SUB(dest,v1,v2) \
    dest[0]=v1[0]-v2[0]; \
    dest[1]=v1[1]-v2[1]; \
    dest[2]=v1[2]-v2[2];
```


Ray Tracing: przecięcie z trójkątem

```
int intersect_triangle(double orig[3], double dir[3],
                     double vert0[3], double vert1[3], double vert2[3],
                     double *t, double *u, double *v) {
    double edge1[3], edge2[3], tvec[3], pvec[3], qvec[3];
    double det, inv_det;

    /* find vectors for two edges sharing vert0 */
    SUB(edge1, vert1, vert0);
    SUB(edge2, vert2, vert0);

    /* begin calculating determinant - also used to calculate U parameter */
    CROSS(pvec, dir, edge2);

    /* if determinant is near zero, ray lies in plane of triangle */
    det = DOT(edge1, pvec);

#ifdef TEST_CULL           /* define TEST_CULL if culling is desired */
    if (det < EPSILON)
        return 0;

    /* calculate distance from vert0 to ray origin */
    SUB(tvec, orig, vert0);

    /* calculate U parameter and test bounds */
    *u = DOT(tvec, pvec);
    if (*u < 0.0 || *u > det)         return 0;

    /* prepare to test V parameter */
    CROSS(qvec, tvec, edge1);

    /* calculate V parameter and test bounds */
    *v = DOT(dir, qvec);
    if (*v < 0.0 || *u + *v > det)   return 0;
#endif
}
```

Ray Tracing: przecięcie z trójkątem

```
/* calculate t, scale parameters, ray intersects triangle */
*t = DOT(edge2, qvec);
inv_det = 1.0 / det;
*t *= inv_det;
*u *= inv_det;
*v *= inv_det;
#else                               /* the non-culling branch */
if (det > -EPSILON && det < EPSILON) return 0;
inv_det = 1.0 / det;

/* calculate distance from vert0 to ray origin */
SUB(tvec, orig, vert0);

/* calculate U parameter and test bounds */
*u = DOT(tvec, pvec) * inv_det;
if (*u < 0.0 || *u > 1.0)           return 0;

/* prepare to test V parameter */
CROSS(qvec, tvec, edge1);

/* calculate V parameter and test bounds */
*v = DOT(dir, qvec) * inv_det;
if (*v < 0.0 || *u + *v > 1.0)     return 0;

/* calculate t, ray intersects triangle */
*t = DOT(edge2, qvec) * inv_det;
#endif
return 1;
}
```

Ray Tracing: struktury przyspieszające

Aby nie liczyć przecięć z wszystkimi obiektami trawersujemy struktury sprawdzając tylko niektóre obiekty:

- kraty — grids (A.Fujimoto)
- kd-drzewa (M.Kaplan)
- BVH — bounding volume hierarchies

Różne **heurystyki konstruowania** optymalnych drzew:

mediana,

SAH

Różne **metody trawersowania**: rekurencyjnie, iteracyjnie

Optymalizacje użycia pamięci:

np. węzły kd-drzewa na 8 bajtach, alignment

Ray Tracing: kd-drzewa (M.Kaplan 1985)

Drzewo dzieli przestrzeń niejednorodnie. Trawersowanie:

```
1 TreeIntersect(ray R, node W)
2   if R.interval empty or W empty then return
3   if W is leaf then
4     foreach object O from W
5       Intersect(R,O)
6   else
7     R1= R clipped to nearer side of W
8     TreeIntersect(R1, W.near)
9     if NoIntersectionInside then
10      R2= R oclipped to farther side of W
11     TreeIntersect(R2, W.far)
```

W praktyce średnia złożoność trawersowania to $O(\log N)$, a konstrukcji $O(N \log N)$

Ray Tracing: BVH

W hierarchii brył otaczających każdy obiekt tylko raz !

Dzielimy obiekty, a nie przestrzeń.

```
1 BVH_Intersect(ray, node)
2   if node is a leaf
3     Intersect(ray, node.object)
4   else if Intersect_P(ray, node.BoundingBox)
5     for each child of node do
6       BVH_Intersect(ray, child)
```

Nie można zakończyć trawersowania po pierwszym znalezionym przecięciu.

Które struktury nadają się dla animacji?

Ray Tracing: implementacje

Istnieje szereg dopracowanych bibliotek i kodu:

- Intel's [Embree](#)
- NVidia [OptiX](#) (CUDA)
- Kod z algorytmami z książki [PBRT](#)
- źródła innych rendererów dalej wymienianych np. Mitsuba

Jak otrzymać fotorealistyczny obraz ? fiz.?

Lokalny i globalny model oświetlenia



Globalny model oświetlenia: jednostki

Jednostki radiometryczne i fotometryczne:

Jednostka	Radiometria		Fotometria	Jednostka
<i>Watt</i>	Moc promienista	Φ	Strumień świetlny	lumen (lm)
<i>Watt / m²</i>	Radiosity	B	Luminosity	Lux (<i>lm / m²</i>)
<i>Watt / m²</i>	Natężenie napromieniowania	E	Natężenie oświetlenia	Lux (<i>lm / m²</i>)
<i>Watt / sr</i>	Radiant Intensity	I	Luminous Intensity	Candela(<i>cd, lm / sr</i>)
<i>Watt / m² sr</i>	Radiancja	L	Luminancja	Nit (<i>cd / m², lm / m² sr</i>)

Candela : 1/683 Watt/sr lub 18.3988 mW równo po całej sferze mocy wypromieniowanej o częstotliwości 540 THz (555.17 nm, żółto-zielony).

Radiancja/luminancja to wielkość propagowana po promieniach, postrzegana, odczytywana przez CCD,..

Funkcje BRDF opisują odbicie światła

Oznaczenia:

ω_i — kierunek padania światła

ω_s — kierunek odbicia zwierciadlanego (od ω_i)

ω_r — kierunek nas interesujący (odbity)

$$f_r(\omega_i \rightarrow, \omega_r) = \frac{(d)L_r(\omega_r)}{L_i(\omega_i)\cos\theta_i d\omega_i}$$

$$f_r(x, \theta_i, \phi_i, \theta_r, \phi_r)$$

Zasada Helmholtza: Foton poruszający się po ścieżce poruszałby się w przeciwnym kierunku także po tej samej ścieżce:

$$f_r(\omega_r, \omega_i) = f_r(\omega_i, \omega_r)$$

Postulat zachowania energii:

$$\int_{\Omega} f_r(\omega_i, \omega_r) \cos\theta_i d\omega_i \leq 1$$

funkcja BRDF dla odbicia rozproszonego ???

Równania renderingu, Kajiya 1985

Aby wygenerować obraz należy obliczyć radiancję $L(x, \omega)$ z każdego widocznego punktu sceny w kierunku kamery:

$$L(x, \omega_r) = \int_{\Omega} f_r(\omega_i, \omega_r) L_i(x, \omega_i) \cos \theta_i d\omega_i$$

Rekurencyjnie musimy policzyć radiancję dla większości punktów sceny i dowolnych kierunków.

Jeśli zdefiniujemy funkcje wzajemnej widoczności $V(x, y) = 0/1$ to ponieważ:

$$d\omega = dA \cdot \cos \theta / r^2$$

możemy zamienić całkowanie po kącie bryłowym na całkowanie po powierzchni sceny:

$$L_r(x, \omega_r) = \int_S f_r(\omega_i, \omega_r) L_r(y, \omega_y) V(x, y) \cos \theta_i \frac{\cos \theta_y dA}{r_{xy}^2}$$

Metody Monte Carlo

Nazwa Monte Carlo po raz pierwszy użyta dla metod matematycznych używanych w Los Alamos przy konstrukcji bomby w latach 40-tych (Neumann, Ulam, Fermi, Metropolis). Skuteczne szczególnie w przypadkach wielowymiarowych. Dla przestrzeni R_d o mierze 1:

— zwykłe kwadratury:

$$\int_{R^d} f(x_1, \dots, x_d) dx \approx \frac{1}{N^d} \sum_{i_1=1}^N \dots \sum_{i_d=1}^N f(x_{i_1}^1, \dots, x_{i_d}^d)$$

— Monte Carlo:

$$\int_{R^d} f(x_1, \dots, x_d) dx \approx \frac{1}{N} \sum f(\xi_i^1, \dots, \xi_i^d)$$

Lit: M.H.Kalos, P.A.Whitlock – “Monte Carlo Methods, Volume I: Basics” John Wiley and Sons 1986

Metody Monte Carlo

Śledzenie ścieżek, mapy fotonów, dwukierunkowe śledzenie ścieżek,...

Efekty: oświetlenie pośrednie, krwawienie kolorów, kaustyki



Cornell Box



scena E. Veach'a

renderer: Mitsuba Jakoba Wenzel'a

Przykłady rendererów G.I.

W wielu programach do modelowania są dostępne renderery obliczające obraz fizycznie poprawnie zgodnie z globalnym modelem oświetlenia

Renderery opensourcowego **Blender'a** :

- **Cycles** (wbudowany),
- Pov-ray
- **Yafray**,
- aqsis
- **Mitsuba**
- **LuxRender**

Komercyjne programy: 3DStudio, Maya mają także wiele pluginów do wyboru: Mental Ray, **Maxwell Renderer**, ...

Można także zgadywać co jest fotografią, a co renderingiem: area.autodesk.com/fakeorfoto/, czasem jesteśmy bardzo blisko ideału.